

## 1. まえがき

コンクリートの真の強度は、持続荷重に対しては 短期試験による応力-ひずみ曲線の臨界応力であり、また、繰り返し荷重に対しては その比例限度にそれぞれ対応すること、それらの求め方については すでに一部報告した<sup>1),2)</sup>。これらはいずれも内部微小ひびわれと密接な関係をもつものである<sup>3)</sup>。本研究では、筆者の開発したコンクリートの複合材料としての性状を考慮した体積ひずみ測定法<sup>1),2)</sup>( $3\epsilon_G$  法<sup>†</sup>)と、Dilatometer<sup>4),5)</sup>などによる体積ひずみ曲線の特徴を、また、ひびわれ性状と応力-ひずみ曲線との関係などについて考察した。<sup>(† 3 $\epsilon_G$  法:  $\epsilon_V = \epsilon_C - \epsilon_{T_1} - \epsilon_{T_2}$ )</sup>

## 2. コンクリート内部ひびわれの伝播遷移領域

短期の応力-ひずみ曲線のティピカルな例を 図-1 に示す。臨界応力 ( $\sigma_{CR}$ ) を超えて さらに圧縮されると、体積ひずみ ( $\epsilon_V$ ) が0となる応力レベルに達し、ボアソン比が0.5を示す。これは弾性論の成立限界を示す重要な変形特異点のひとつであり、流动応力 (Flow stress,  $\sigma_{FL}$ ) と呼ぶことにする。 $\sigma_{FL}$  は強度 ( $\sigma_{cB}$ ) の 約0.95であるが、一般には(1)式で表わされる。

$$\sigma_{FL}/\sigma_{cB} = 0.904 + 0.000123 \sigma_{cB} \quad (1)$$

A E T Corp.(U.S.A.) 製のA E 装置によるひびわれ音エネルギー・累積頻度を 図-2 に示す。 $\sigma_{CR} > \sigma$  では 遅いひびわれ成長,  $\sigma_{CR} \leq \sigma < \sigma_{FL}$  では 遷移領域,  $\sigma_{FL} \leq \sigma$  では 速いひびわれ成長となる。

## 3. 体積ひずみ曲線の特徴

供試体数162個による体積ひずみ曲線は、7種に大別される(図-3)。円柱では タイプI~IV, 角柱( $3\epsilon_G$  法)では タイプII~Vが、角柱( $2\epsilon_T$  法\*)ではタイプII~IVが多く出現し、とくにタイプIIIがもっと頻度が高く 確率は約 $\frac{1}{3}$ <sup>5)</sup>であり、供試体の形状・測定法・微小ひびわれ成長 $\approx 1000$ などの影響を受けるが、タイプIIIが一般的体積ひ

ずみ曲線と考えてよいことがわかった。また、Dilatometer 形<sup>4)</sup>とも一致する。<sup>(\*  $\epsilon_V = \epsilon_C - 2\epsilon_T$ )</sup>

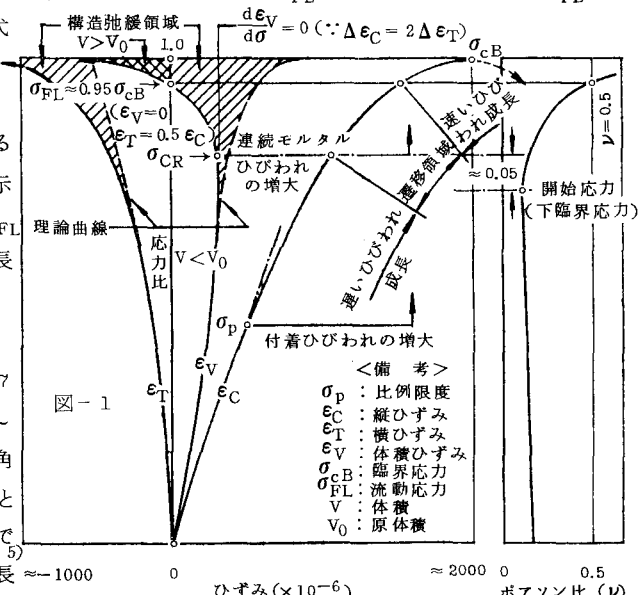
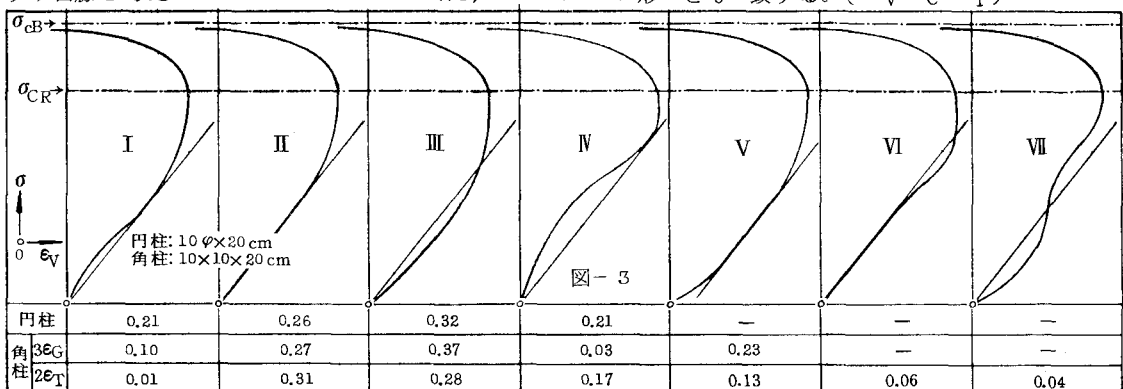


図-1



#### 4. あとがき

本研究には、防大 佐藤助手・同 萩野技官・同 鶴田  
非常勤職員などの助力を受けた。付記して謝意を表する。

#### <参考文献>

- 1) 加藤清志：3回関支年講，s.51.1,p.393.
- 2) 同上：日本材料科学会 51年度学術講，s.51.5., p.28.
- 3) 同上：土論 No.188(1971-1), No.208(1972-12), No.235(1975-3).
- 4) Bridgman, P.W.: J. Appl. phy., V.20, Dec. 1949, p.1241.
- 5) Spooner, D.C.: MCR, V.25, No.84, Sept. 1973, p.173.

